

# 组合自校正器

李清泉  
(清华大学)

## 摘要

基于随机预报理论和极点配置方法,本文提出了一种新的自校正器的设计方案。它不仅保存了现有极点配置自校正控制器的优点,且克服了伺服跟踪性能和随机调节性能不能均优的缺点。理论分析和实验结果证实了上述结论的正确性。

## 一、引言

近年来,在自校正器的设计方法中,极点配置方法愈来愈受到重视。这是因为与其它设计方法相比,这种方法具有下列重要优点: 1) 工程意义直观明显; 2) 鲁棒性能良好; 3) 不需要受控过程延迟时间的先验知识,且能用于时变延迟时间过程。

现有极点配置自校正控制器的一个严重缺点,是伺服跟踪和随机调节性能不能均优。文献[1, 2]提出的方案比较复杂,计算量大,实用价值小。文献[3]仅处理了伺服跟踪问题。正如有的文献所分析的<sup>1),2)</sup>,这些方法都不成熟,尚待进一步改进。文献[4, 5]提出了一种增广自校正算法(EST),在功能上有所扩大,但仍未解决上述均优问题。

本文提出的组合自校正器(CST),可按照伺服跟踪和随机调节性能要求,分别设计控制器参数,而不相互影响,从而使这两种性能都达到最好结果,并能保存现有极点配置自校正控制器的优点。

## 二、基本控制策略

观察由随机差分方程

$$Ay(t) = z^{-k}B'u(t) + Ce(t) \quad (1a)$$

描述的单输入-单输出受控过程,式中

$$\begin{cases} A = 1 + a_1z^{-1} + \cdots + a_{n_a}z^{-n_a}, \\ B' = b'_0 + b'_1z^{-1} + \cdots + b'_{n_b}z^{-n_b}, \\ C = 1 + c_1z^{-1} + \cdots + c_{n_c}z^{-n_c}, \\ b'_0 \neq 0, k \geq 1, t = 0, 1, 2, \cdots. \end{cases} \quad (1b)$$

本文于1984年3月6日收到。

1) 李清泉,自校正控制理论与方法,清华大学自动化系,1981年1月。

2) 李清泉,自校正控制,清华大学科学报告会报告,1981。

$z^{-1}$  为后向平移算子； $k$  为过程延迟时间； $y(t)$  和  $u(t)$  分别为过程输出和控制输入； $e(t)$  是均值为零方差为  $\sigma^2$  的不相关随机序列。通常有  $n_a \geq n_c$ 。

引入记号

$$B = z^{-k_{\max}} B' \tag{2a}$$

式中  $B = b_1 z^{-1} + b_2 z^{-2} + \dots + b_{n_b} z^{-n_b}$ . (2b)

$k_{\max}$  为  $k$  的可能最大值。当  $k < k_m$  时，总可将式 (2b) 中的有关项系数设置为零，而使  $B$  与  $z^{-k} B'$  等价。因此，在分析中，取

$$B = z^{-k} B', \tag{2c}$$

不会影响所得结果的一般性。

与 EST 不同，在 CST 的控制策略中，除了串联补偿器  $G/F$  和前置补偿器  $G_p/F_p$  外，还引入了前馈补偿器  $G_f/F_f$ ，如图 1(a) 所示。图 1(b) 是图 1(a) 的等价框图。两图的各控制多项式之间的关系满足

$$\begin{cases} W = F_p F_f, \\ H = G G_p F_f + F F_p G_f. \end{cases} \tag{3}$$

由图 1 可知，本方案的控制策略为

$$u(t) = \frac{H}{FW} y_r(t) - \frac{G}{F} y(t). \tag{4}$$

闭环系统方程为

$$y(t) = \frac{BH}{(AF + BG)W} y_r(t) + \frac{CF}{AF + BG} e(t). \tag{5}$$

式中  $y_r(t)$  为伺服输入。由式(5)可知，与随机调节性能有关控制多项式是  $F$  和  $G$ ，与

伺服跟踪性能有关控制多项式除  $F$  和  $G$  外，尚有  $H$  和  $W$ 。因此，若先按随机调节性能要求选择  $F$  和  $G$ ，再据伺服跟踪性能要求选择  $H$  和  $W$ ，就能使两种性能同时均优。

随机调节的目的是使闭环输出噪声分量尽可能小，即式(5)右边第二项的方差尽可能小。因此，CST 在保证闭环系统稳定的前提下，将基于随机预报理论选择  $F$  和  $G$ ，但为了处理方便，在形式上采用极点多项式  $T_c$  和零点多项式  $Z_c$  来规定随机调节性能。伺服跟踪的理想性能是要求伺服传递函数等于 1，即要求式 (5) 右边第一项的传递函数  $BH/[(AF + BG)W]$  等于 1，此时伺服系统的定态和动态误差均为零，系统对伺服输入实现了所谓的完全不变性。当然，实际很难达到这个要求，但至少应保证伺服传递函数的定态增益等于 1。综上所述，根据极点配置方法，希望的闭环系统方程可表示为

$$y(t) = \frac{T_M(1)Z_M}{Z_M(1)T_M} y_r(t) + \frac{Z_c}{T_c} e(t). \tag{6a}$$

式中标量常数  $T_M(1)$  和  $Z_M(1)$  为

$$\begin{cases} T_M(1) = [T_M]_{z^{-1}=1}, \\ Z_M(1) = [Z_M]_{z^{-1}=1}. \end{cases} \tag{6b}$$

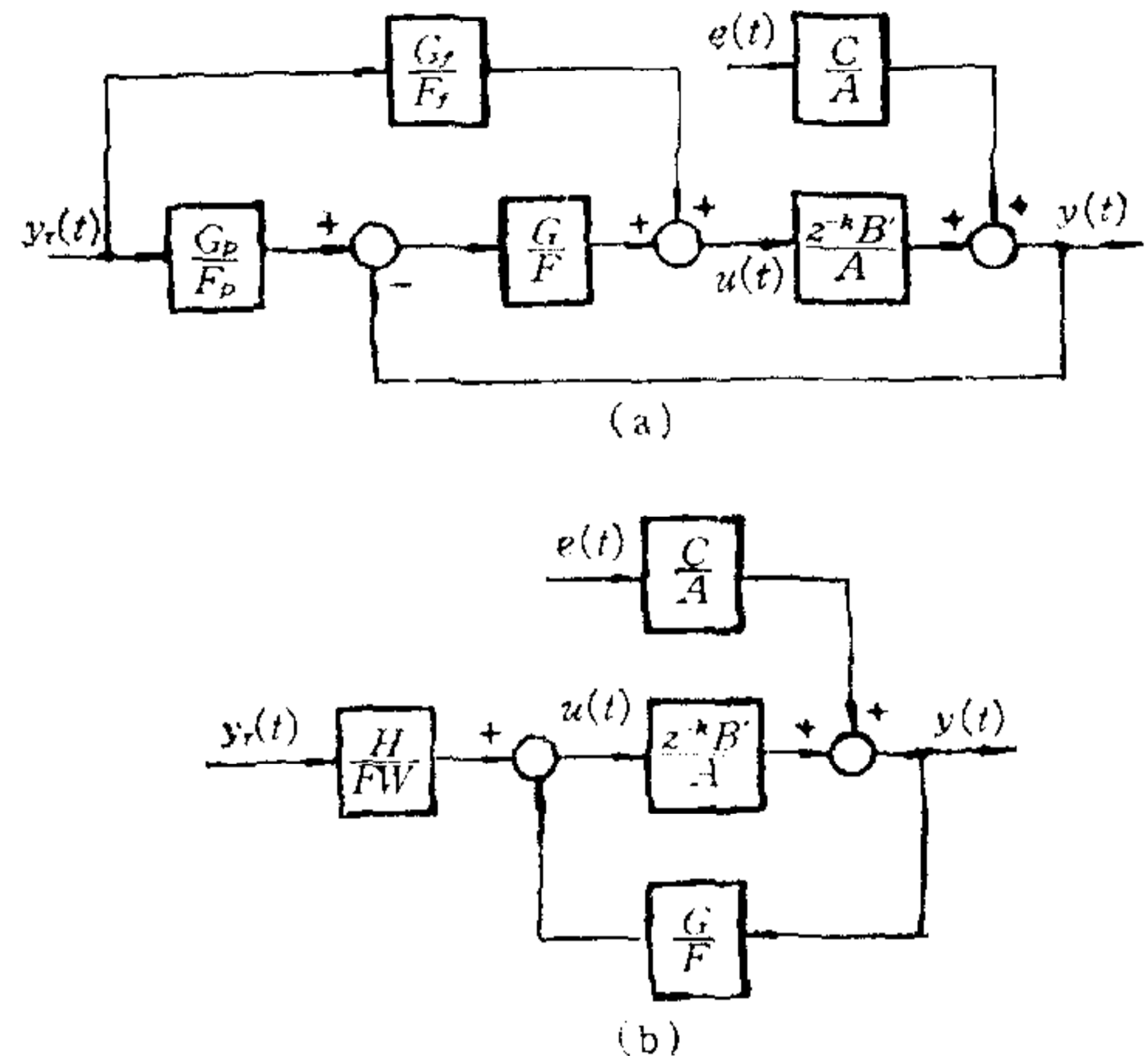


图 1 组合控制方案

由此可见,有关多项式之间应满足下列关系:

$$\frac{CF}{AF + BG} = \frac{Z_c}{T_c}, \quad (7)$$

$$\frac{BH}{(AF + BG)W} = \frac{T_M(1)Z_M}{Z_M(1)T_M}. \quad (8)$$

现在的问题是:第一,如何选择希望的多项式  $T_M$ ,  $Z_M$ ,  $T_c$  和  $Z_c$ ; 第二,如何从已知多项式得到满足要求的控制多项式  $F$ ,  $G$ ,  $H$  和  $W$ .

这里有三种情况:

1) 受控系统是最小相位系统,这时,  $B'$  为稳定多项式. 根据最小方差理论<sup>1)</sup>,为使输出噪声分量的方差最小,应使

$$AF' + z^{-k}G = C, \quad (9)$$

$$F = B'F'. \quad (10)$$

式中  $F'$  为首一多项式,各多项式的阶次为:  $\deg F = n_{b'} + k - 1$ ,  $\deg F' = k - 1$ ,  $\deg G = n_a - 1$ . 可见,噪声模型多项式  $T_c$  和  $Z_c$  应选为

$$\begin{cases} T_c = 1, \\ Z_c = F'. \end{cases} \quad (11)$$

这时有

$$\frac{BH}{(AF + BG)W} = \frac{z^{-k}H}{CW} = \frac{T_M(1)Z_M}{Z_M(1)T_M}.$$

为了满足伺服跟踪要求,根据上述分析,一种合理的选择显然是

$$\begin{cases} W = T_M, \\ Z_M = z^{-k}, \\ H = T_M(1)C. \end{cases} \quad (12)$$

这样,控制策略和闭环系统方程为

$$u(t) = \frac{T_M(1)C}{FT_M} y_r(t) - \frac{G}{F} y(t), \quad (13)$$

$$y(t) = \frac{T_M(1)z^{-k}}{T_M} y_r(t) + F'e(t). \quad (14)$$

2) 受控系统是非最小相位系统,且  $B'$  的零点都是不稳定的零点.

在这种情况下,  $B$  的零点都是不稳定零点,由式(5)知,为保证闭环稳定性,在极点配置过程中,  $B$  的零点一个也不能相消. 这时,为使输出噪声分量的方差最小,必须使

$$AF + BG = C. \quad (15a)$$

式中  $F$  为首一多项式,保证上式有唯一解的一个条件是

$$\begin{cases} \deg F = n_b - 1, \\ \deg G = n_a - 1. \end{cases} \quad (15b)$$

可见,闭环噪声模型多项式应选为

1) K. J. 阿斯托姆著,郭尚来译,李清泉校,随机控制理论导论,清华大学自动化系,1980.

$$\begin{cases} T_c = 1, \\ Z_c = F. \end{cases} \quad (16)$$

这时有

$$\frac{BH}{(AF + BG)W} = \frac{BH}{CW} = \frac{T_M(1)Z_M}{Z_M(1)T_M}.$$

为满足伺服跟踪要求, 应选择

$$\begin{cases} W = T_M, \\ Z_M = B, \\ H = \frac{T_M(1)}{B(1)} C. \end{cases} \quad (17)$$

因此, 相应的控制策略和闭环系统方程为

$$u(t) = \frac{T_M(1)C}{B(1)FT_M} y_r(t) - \frac{G}{F} y(t), \quad (18)$$

$$y(t) = \frac{T_M(1)B}{B(1)T_M} y_r(t) + Fe(t). \quad (19)$$

3) 受控系统为非最小相位系统, 但  $B'$  的零点仅部分为不稳定零点. 在这种情况下,  $B$  的零点也只有部分为不稳定零点, 故可把  $B$  分解为

$$B = B^+ B^-. \quad (20)$$

式中  $B^+$  为稳定多项式,  $B^-$  的零点都是不稳定零点. 为了保证稳定性, 不能对消  $B^-$  的任何一个零点. 为使输出噪声分量的方差最小, 应使

$$F = B^+ F_1, \quad (21a)$$

$$AF_1 + B^- G = C, \quad (21b)$$

式中  $F_1$  为首一多项式. 保证上式有唯一解的一个条件是

$$\begin{cases} \deg F = n_b - 1, \\ \deg F_1 = \deg B^- - 1, \\ \deg G = n_a - 1. \end{cases} \quad (21c)$$

可见, 希望的噪声模型多项式  $T_c$  和  $Z_c$  应选为

$$\begin{cases} T_c = 1, \\ Z_c = F_1. \end{cases} \quad (22)$$

这时有

$$\frac{BH}{(AF + BG)W} = \frac{B^- H}{CW} = \frac{T_M(1)Z_M}{Z_M(1)T_M}.$$

为满足伺服跟踪要求, 应选择

$$\begin{cases} W = T_M, \\ Z_M = B^-, \\ H = \frac{T_M(1)}{B^-(1)} C. \end{cases} \quad (23)$$

因此, 相应的控制策略和闭环系统方程为

$$u(t) = \frac{T_M(1)C}{B^-(1)FT_M} y_r(t) - \frac{G}{F} y(t), \quad (24)$$

$$y(t) = \frac{T_M(1)B^-}{B^-(1)T_M} y_r(t) + F_1 e(t). \quad (25)$$

### 三、CST 和 EST 的比较

在 EST 中,控制策略为

$$u(t) = \frac{H_E}{F_E} y_r(t) - \frac{G_E}{F_E} y(t), \quad (26)$$

相应的闭环系统方程是

$$y(t) = \frac{BH_E}{AF_E + BG_E} y_r(t) + \frac{CF_E}{AF_E + BG_E} e(t). \quad (27)$$

由式(27)知,这种方案的调节多项式和伺服跟踪多项式是相互制约的,无法同时满足随机调节性能和伺服跟踪性能的要求。

为了具体比较 CST 和 EST 的优劣,对本文之二所述的三种情况,分别举一个具体例子:

- (1)  $(1 - 1.5z^{-1} + 0.7z^{-2})y(t) = z^{-1}(1 + 0.5z^{-1})u(t) + (1 - 0.4z^{-1})e(t).$
- (2)  $(1 + 1.6z^{-1} + 0.6z^{-2})y(t) = z^{-k}(1 + 1.5z^{-1})u(t) + (1 - 0.4z^{-1})e(t), k = 1, 2, 3.$
- (3)  $(1 - 1.5z^{-1} + 0.7z^{-2})y(t) = z^{-1}(1 + 2z^{-1} + 0.75z^{-2})u(t) + (1 - 0.5z^{-1})e(t).$

在用 CST 和 EST 对上列三类受控过程进行控制时,为了比较清楚起见,使它们具有相同的伺服跟踪传递函数,三种情况分别为

$$(1) \frac{T_M(1)z^{-1}}{T_M}, \quad (2) \frac{T_M(1)B}{B(1)T_M}, \quad (3) \frac{T_M(1)B^-}{B^-(1)T_M},$$

其中  $T_M = 1 - 0.8z^{-1}$ . 因此,只需比较随机调节特性,计算结果如表 1 所示. CST 的优越性是显而易见的,输出噪声分量的方差大约可减少 2 到 3 倍。

表 1 CST 和 EST 的输出噪声分量的方差 ( $\sigma^2$ )

方案 \ 类型	(1)	(2)			(3)
		$k=1$	$k=2$	$k=3$	
CST	1.0	1.47	3.03	4.86	1.46
EST	2.78	4.07	6.33	8.60	4.0

### 四、自校正控制

对不同类型受控系统实施自校正控制的主要步骤大致如下:

- 1) 受控系统为最小相位系统

已知  $n_a, n_{b'}, n_c, k$  和  $T_M$ .

第一、用增广矩阵法得  $A, B'$  和  $C$  的估计  $\hat{A}, \hat{B}'$  和  $\hat{C}$ .

第二、用  $\hat{A}$  和  $\hat{C}$  取代式(9)中的  $A$  和  $C$ , 解出  $F'$  和  $G$  的估计  $\hat{F}'$  和  $\hat{G}$ , 进而由式(10)解出  $F$  的估计  $\hat{F}$ .

第三、用  $\hat{C}, \hat{F}$  和  $\hat{G}$  代替式(13)中的  $C, F$  和  $G$ , 求出所需控制  $u(t)$ .

2) 受控系统为非最小相位系统, 且  $B'$  的零点都是不稳定的零点

已知  $n_a, n_{b'}, k_m$  和  $T_M$ .

第一、用增广矩阵法得  $A, B$  和  $C$  的估计  $\hat{A}, \hat{B}$  和  $\hat{C}$ .

第二、将  $\hat{A}, \hat{B}$  和  $\hat{C}$  代替式(15a)中的  $A, B$  和  $C$ , 解出  $F$  和  $G$  的估计  $\hat{F}$  和  $\hat{G}$ .

第三、用  $\hat{B}(1), \hat{C}, \hat{F}$  和  $\hat{G}$  代替式(18)中的  $B(1), C, F$  和  $G$ , 求出所需控制  $u(t)$ .

3) 受控系统为非最小相位系统, 但  $B'$  仅有部分零点为不稳定零点

已知  $n_a, n_{b'}, n_c, k_m$  和  $T_M$ .

第一、利用增广矩阵法求得  $A, B$  和  $C$  的估计  $\hat{A}, \hat{B}$  和  $\hat{C}$ .

第二、将  $\hat{B}$  分解为  $\hat{B}^+$  和  $\hat{B}^-$ , 并做为  $B^+$  和  $B^-$  的估计.

第三、用  $\hat{A}, \hat{B}^-$  和  $\hat{C}$  代替式(21b)中的  $A, B^-$  和  $C$ , 解出  $F_1$  和  $G$  的估计  $\hat{F}_1$  和  $\hat{G}$ , 进而由式(21a)得  $F$  的估计  $\hat{F}$ .

第四、用  $\hat{B}^-(1), \hat{C}, \hat{F}$  和  $\hat{G}$  代替式(24)中的  $B^-(1), C, F$  和  $G$ , 求出所需控制  $u(t)$ .

## 五、实验结果

假设实际受控系统是非最小相位系统

$$(1 - 1.6z^{-1} + 0.6z^{-2})y(t) = z^{-k}(1 + 1.5z^{-1})u(t) + (1 - 0.4z^{-1})e(t).$$

关于  $k$  的实际值, 仅知道  $k_{\max} = 3$ . 伺服输入  $y_r(t)$  是幅度为  $\pm 10$ 、周期为 300 的矩形波.  $T_M = 1 - 0.8z^{-1}$ . 为了检验 CST 的适应能力, 在进行时变延迟实验时, 使  $k$  突变发生在 300 步伺服输入变号处, 因为这是最恶劣的条件.

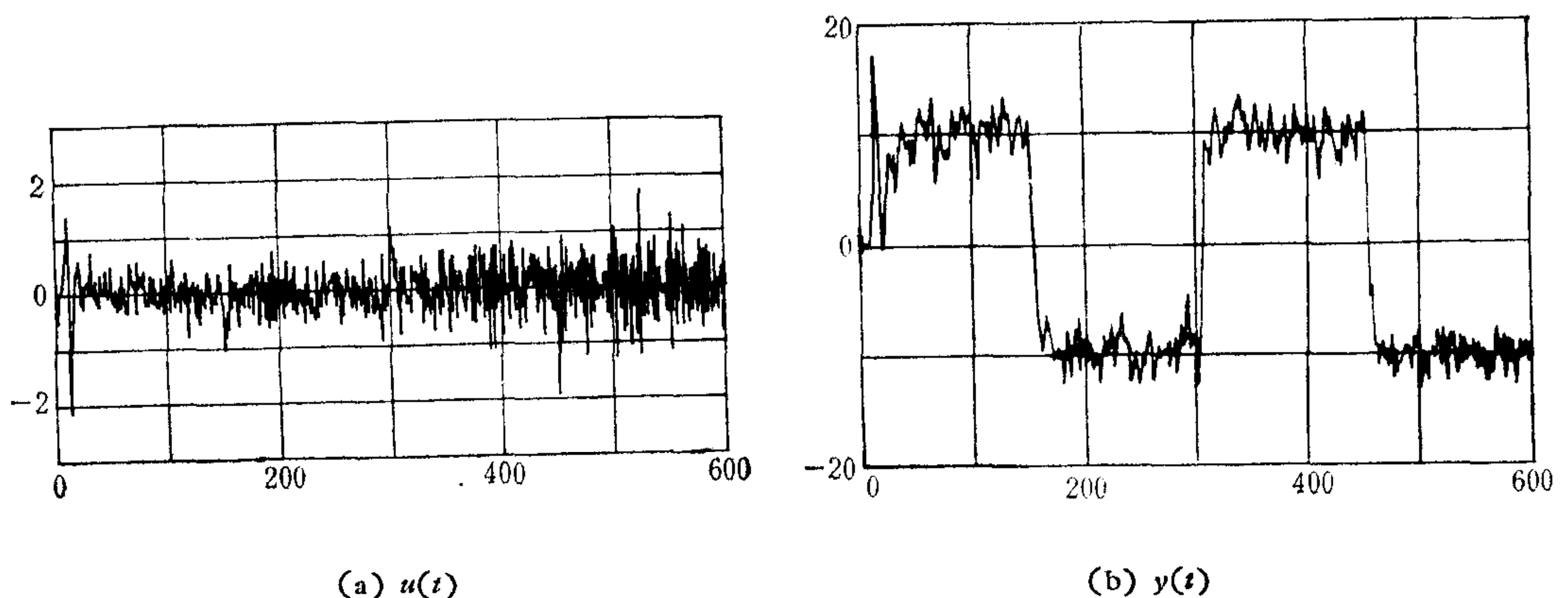
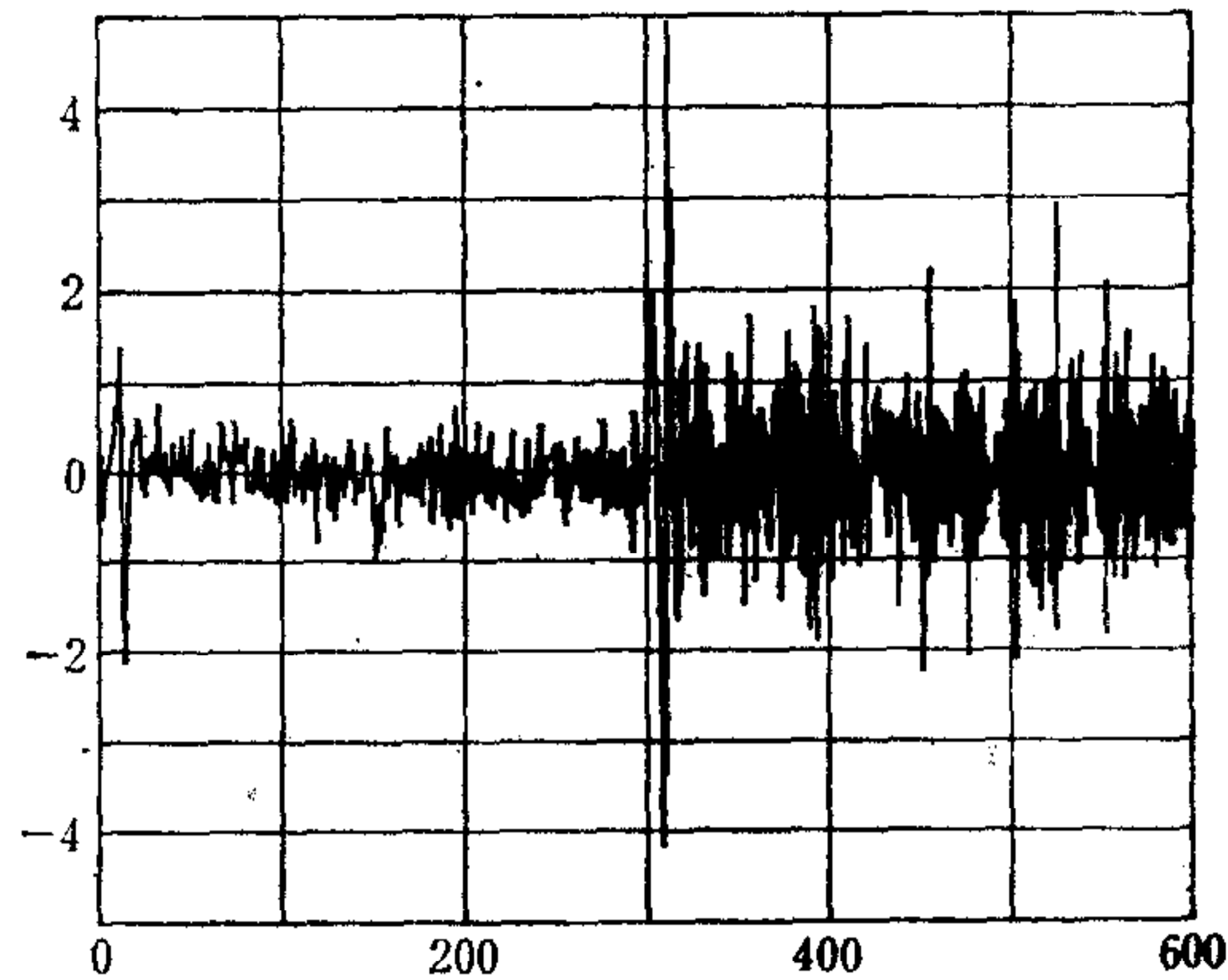
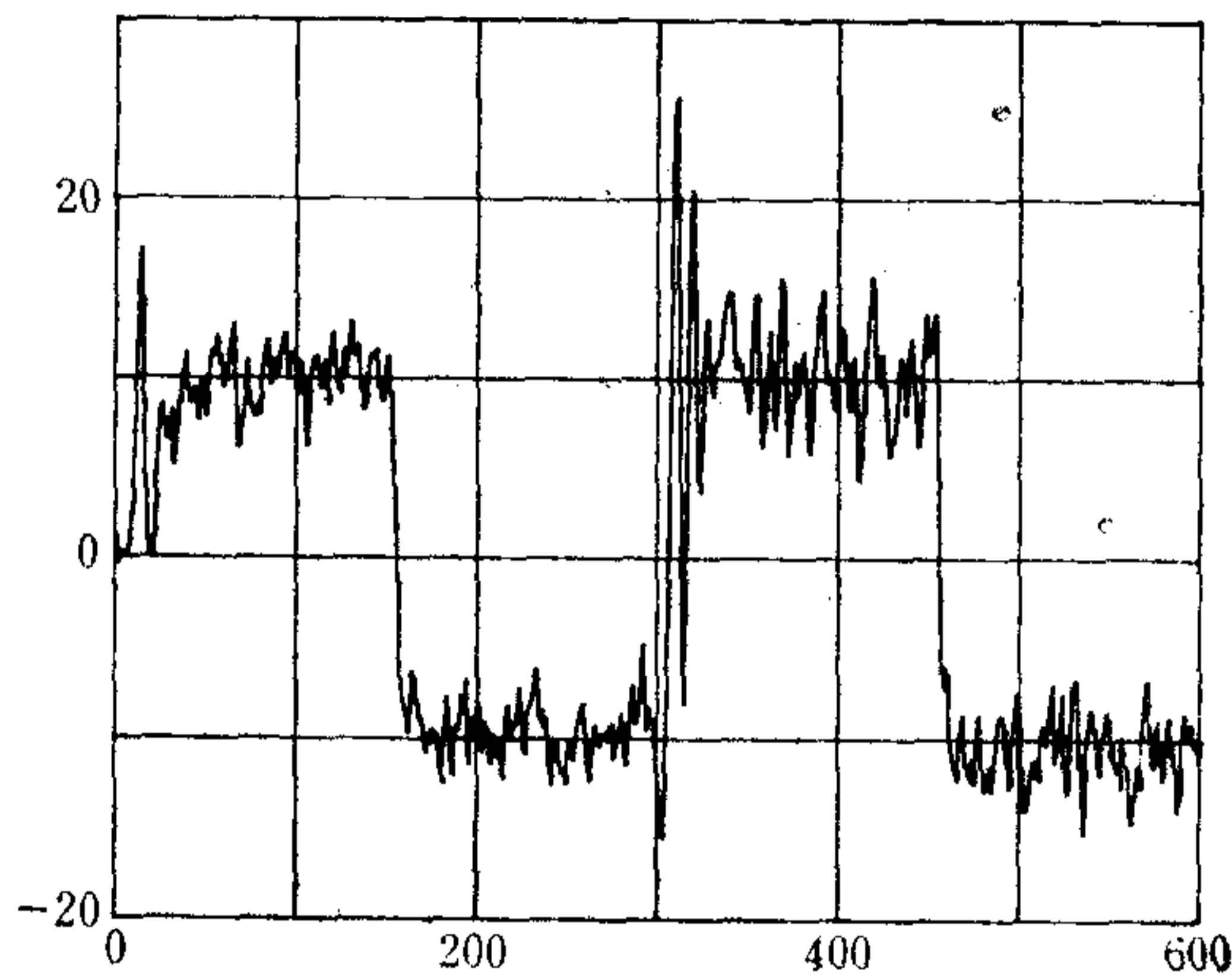


图2  $k_{\max} = 3, k$  实际等于 1 的输出和控制输入

(a)  $u(t)$ (b)  $y(t)$ 图 3 在 300 步时,  $k$  由 1 突变为 3 的输出和控制输入表 2 CST 和 EST 的输出均值和方差 ( $\sigma^2$ )

方案 条件	CST			EST		
	正均值	负均值	方差	正均值	负均值	方差
$k=1$	9.38	-9.60	5.42	8.71	-9.79	16.88
$k=2$	9.53	-9.69	5.96	9.82	-9.49	10.23
$k=3$	9.89	-9.40	18.98	9.74	-10.27	24.31
$k:1 \rightarrow 2$	9.48	-9.71	6.23	8.80	-9.87	16.99
$k:1 \rightarrow 3$	9.84	-9.87	9.08	9.01	-10.03	17.76

注  $k_{\max} = 3$ ,  $k$  突变出现在 300 步处。

图 2(a)和(b)是  $k$  实际等于 1 时的控制输入  $u(t)$  和输出  $y(t)$ 。图 3(a)和(b)是  $k$  开始等于 1, 在 300 步时突变为 3 的  $u(t)$  和  $y(t)$ 。表 2 是在各种条件下, CST 和 EST 的输出均值和方差。这些实验结果表明, CST 不仅适应能力良好,而且抑制噪声能力很强,它的方差比 EST 约小 2 到 3 倍。

## 结 语

组合自校正器在实现调节和伺服跟踪两个功能时,可分别采用互不制约的两个准则——随机预报和极点配置来设计控制器参数,因而使它的两种性能都达到预定目标,而它在获得这种优良性能时,仍保持良好的可靠性和鲁棒性。因此,在现有的极点配置自校正控制器中,CST 无疑是一种好的方案。

## 参 考 文 献

- [1] Wellstead, P. E., and Zanker, P. M., Servo Self-tuner, *Int. J. Control*, 30(1979), 27—36.
- [2] Allidina, A. Y., and Hughes, F. M., Generalised Self-tuning Controller with Pole Assignment, *Proc. IEE*, 127(1980), 13—18.
- [3] Åström, K. J., and Wittenmart, B., Self-tuning Controllers Based on Pole-zero Placement, *Proc. IEE*, 127(1980), 120—130.
- [4] Wellstead, P. E., and Sanoff, S. P., Extended Self-tuning Algorithm, *Int. J. Control*, 34 (1981), 433—455.
- [5] Sanoff, S. P., and Wellstead, P. E., Extended Self-tuning Algorithm — Practical Aspects, Presented at the 6th IFAC Symposium on Identification and System Parameter Estimation, Washington, U.S.A., 1982.

## COMBINED SELF-TUNER

LI QINGQUAN

(Tsinghua University)

### ABSTRACT

Based on the stochastic prediction theory and pole-assignment method, a new design scheme for a self-tuner is presented. It not only preserves the advantages of the usually-used pole-assignment self-tuning controllers but also overcomes the drawback that the performances of servo-tracking and stochastic regulation could not be satisfied simultaneously. The above conclusion have been verified by theoretical analysis and experimental results.